

УДК 534.1:532.516

Движение вязкой жидкости в плоском канале, образованном вибрирующим штампом и шарнирно опертой пластиной

Агеев Р.В.^{1*}, Могилевич Л.И.^{2}, Попов В.С.^{1***}, Попова А.А.^{1****}**

¹*Саратовский государственный технический университет имени Гагарина Ю.А., СГТУ имени Гагарина Ю.А., Политехническая ул., 77, Саратов, 410054, Россия*

²*Московский государственный университет путей сообщения (Поволжский филиал), ПФ МИИТ, Астраханская ул., 1а, Саратов, 410790, Россия*

*e-mail: arybs@mail.ru

**e-mail: mogilevich@sgu.ru

***e-mail: vic_p@bk.ru

****e-mail: anay_p@bk.ru

Аннотация

Поставлена и аналитически решена задача о движении слоя вязкой жидкости в плоском канале, стенки которого образованы вибрирующим штампом и упругой пластиной. Рассмотрена задача в плоской постановке. Решение проводится методом возмущений для режима установившихся гармонических колебаний. Найдены законы распределения давления в жидкости и прогибы стенки канала. Построены амплитудная и фазовая частотные характеристики, позволяющие исследовать гидроупругие колебания стенки канала.

Ключевые слова: гидроупругость, вязкая жидкость, колебания, балка, вибрирующий штамп, метод возмущений.

Введение

Стационарное движение слоя вязкой жидкости в плоском канале, образованном двумя параллельными поверхностями достаточно хорошо изучено [1-3]. В простейших постановках ограничиваются рассмотрением стационарного течения Пуазейля или Куэтта. В [3] рассмотрен случай движения слоя вязкой несжимаемой жидкости в канале с абсолютно твердыми стенками с учетом конвективных членов инерции. С другой стороны, актуальными и практически значимыми являются исследования динамики жидкости в плоском канале с вибрирующими стенками. В [4] рассмотрена задача о колебаниях стенки канала как упругой балки-полоски, взаимодействующей с идеальной жидкостью, заполняющей канал, и на ее базе выполнено исследование причин возникновения вибрационной кавитации в жидкости. Однако, данный подход не позволяет учесть демпфирующие свойства в рассматриваемой колебательной системе за счет вязкости жидкости, которые обуславливают ограниченность амплитуд колебаний стенки канала на резонансной частоте.

Исследованию демпфирования гармонически вибрирующей бесконечно длинной балки-полоски на слое вязкой сжимаемой и несжимаемой жидкости посвящены работы [5], [6]. В данных работах показано, что демпфирующие свойства слоя жидкости, на котором лежит вибрирующая бесконечно длинная балка-полоска существенным образом возрастают при уменьшении толщины слоя. Оценка влияния вязкости жидкости выполнена в [7] при исследовании взаимодействия вибрирующих дисков со слоем вязкой несжимаемой жидкости, находящейся между ними. Показано, что на резонансных частотах колебаний стенок

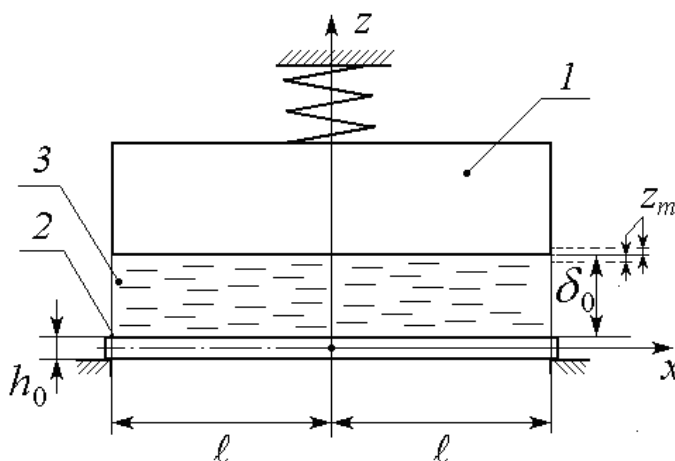
канала амплитуда давления жидкости может изменяться на несколько порядков и становится существенно меньше давления насыщенного пара. В [8] рассмотрена аналогичная задача для двух вибрирующих пластин. В [9] выполнено исследование гидроупругих колебаний балки в потоке вязкой жидкости применительно к пьезопреобразователям, которые могут использоваться для получения энергии от потока.

В предлагаемой работе проведено исследование динамики взаимодействия пластины конечных размеров с вибрирующим штампом через движущийся слой вязкой несжимаемой жидкости, находящейся между ними, с учетом особенностей торцевого истечения жидкости и закрепления пластины.

1. Рассмотрим канал условно представленный на фиг.1. Канал образован двумя параллельными непроницаемыми стенками 1,2 одинаковых геометрических размеров, между которыми движется слой вязкой несжимаемой жидкости 3 за счет заданного перепада давления. На торцах канала справа и слева имеются торцевые полости, заполненные той же жидкостью, что и жидкость между стенками. Для определенности будем считать, что в левой торцевой полости поддерживается постоянное давление $p_0 + \Delta p$, в правой – p_0 , а истечение жидкости в эти полости можно считать свободным. Протяженность канала в одном из направлений считается бесконечно большой. Данное направление обозначим b (на фиг. не указано), а другое как 2ℓ , при этом $b \gg 2\ell$. Стенка 1 является штампом, совершающим колебания в вертикальном направлении по заданному гармоническому закону, а стенка 2 – упругой пластиной толщиной h_0 шарнирно

опертой на торцах. Толщина слоя жидкости (расстояние между стенками) δ изменяется со временем в невозмущенном состоянии она равна $\delta_0 \ll 2l$.

Далее, будем принимать во внимание, что в рассматриваемой механической системе присутствует сильное демпфирование, обусловленное учетом вязкости слоя жидкости. С течением времени это приводит к довольно быстрому затуханию переходных процессов и возникновению установившихся колебаний. Следовательно, при рассмотрении достаточно длительных во времени процессов общее решение неоднородных уравнений и начальные условия будем исключать с самого начала исследования [10].



Фиг.1.

Введем в рассмотрение декартовую систему координат x, y, z , связанную со срединной поверхностью пластины 2. Учитывая, что $2l \ll b$, будем считать канал неограниченным в направлении оси y , то есть перейдем к рассмотрению плоской задачи. Закон движения вибрирующего штампа задается в виде

$$z = \frac{h_0}{2} + \delta_0 + z_m f_z(\omega t), \quad f_z(\omega t) = \sin \omega t, \quad (1)$$

где z_m – амплитуда перемещений штампа; ω – частота колебаний; t – время.

Уравнения динамики вязкой несжимаемой жидкости в канале имеют вид

$$\frac{\partial V_x}{\partial t} + V_x \frac{\partial V_x}{\partial x} + V_z \frac{\partial V_x}{\partial z} = -\frac{1}{\rho} \frac{\partial p}{\partial x} + \nu \left(\frac{\partial^2 V_x}{\partial x^2} + \frac{\partial^2 V_x}{\partial z^2} \right), \quad (2)$$

$$\frac{\partial V_z}{\partial t} + V_x \frac{\partial V_z}{\partial x} + V_z \frac{\partial V_z}{\partial z} = -\frac{1}{\rho} \frac{\partial p}{\partial z} + \nu \left(\frac{\partial^2 V_z}{\partial x^2} + \frac{\partial^2 V_z}{\partial z^2} \right),$$

$$\frac{\partial V_x}{\partial x} + \frac{\partial V_z}{\partial z} = 0,$$

где p – давление; ρ , ν – плотность и кинематический коэффициент вязкости жидкости; V_x , V_z – проекции скорости движения жидкости на оси координат.

Уравнения динамики жидкости дополняются граничными условиями:

условиями прилипания жидкости к стенкам канала [5-8]

$$V_x = 0, V_z = \frac{d\delta(t)}{dt} \text{ при } z = \frac{h_0}{2} + \delta_0 + z_m f_z(\omega t); \quad V_x = \frac{\partial u}{\partial t}, V_z = \frac{\partial w}{\partial t} \text{ при } z = \frac{h_0}{2} + w, \quad (3)$$

и условиями ее свободного торцевого истечения, состоящими в совпадении давления жидкости на торце канала с давлением в левой и правой полостях

$$p = p_0 + \Delta p \text{ при } x = -\ell, \quad p = p_0 \text{ при } x = \ell. \quad (4)$$

Здесь w – прогиб стенки 2 канала, u – продольное перемещение стенки 2 канала.

Уравнения динамики стенки 2 канала будут представлять собой уравнения изгибных колебаний пластинки-полоски

$$\frac{Eh_0^3}{12(1-\nu_0^2)} \frac{\partial^4 w}{\partial x^4} + \rho_0 h_0 \frac{\partial^2 w}{\partial t^2} = q_{zz}, \quad (5)$$

где ρ_0 – плотность материала пластины, ν_0 – коэффициент Пуассона, E – модуль Юнга, q_{zz} – нормальное напряжение, действующие со стороны слоя жидкости на поверхность пластины. Выражение для q_{zz} на поверхности пластины имеет вид [2,3]

$$q_{zz} = -p + 2\rho\nu \frac{\partial V_z}{\partial z} \text{ при } z = \frac{h_0}{2} + w.$$

Условия шарнирного опирания запишем в виде

$$w = \frac{\partial^2 w}{\partial x^2} = 0 \text{ при } x = -\ell, \quad w = \frac{\partial^2 w}{\partial x^2} = 0 \text{ при } x = \ell, \quad (6)$$

2. Введем в рассмотрение безразмерные переменные и малые параметры:

$$\zeta = \frac{z - h_0/2}{\delta_0}, \quad \xi = \frac{x}{\ell}, \quad \tau = \omega t, \quad \psi = \frac{\delta_0}{\ell} \ll 1, \quad \lambda = \frac{z_m}{\delta_0} \ll 1, \quad V_z = z_m \omega U_\zeta(\xi, \zeta, \tau), \quad V_x = \frac{z_m \omega}{\psi} U_\xi(\xi, \zeta, \tau),$$

$$\Delta P = \frac{\Delta p \delta_0 \psi^2}{z_m \rho v \omega}, \quad p = p_0 + \frac{\rho v z_m \omega}{\delta_0 \psi^2} P(\xi, \tau), \quad w = w_m W(\xi, \tau), \quad u = u_m U(\xi, \tau). \quad (7)$$

Подставляя (7) в (2)-(6) и учитывая, что $\lambda = o(1)$, $w_m/z_m = O(1)$ решение задачи динамики тонкого слоя вязкой жидкости в нулевом приближении по ψ представим в виде асимптотического разложения по степеням параметра $\lambda \ll 1$ [11]

$$P = P_0 + \lambda P_1 + O(\lambda^2), \quad U_\xi = U_{\xi 0} + \lambda U_{\xi 1} + O(\lambda^2), \quad U_\zeta = U_{\zeta 0} + \lambda U_{\zeta 1} + O(\lambda^2) \quad (8)$$

Тогда удерживая в (8) первый член разложения по $\lambda = o(1)$, получим следующую задачу гидроупругости:

уравнения динамики тонкого слоя жидкости

$$\text{Re} \frac{\partial U_{\xi 0}}{\partial \tau} = -\frac{\partial P_0}{\partial \xi} + \frac{\partial^2 U_{\xi 0}}{\partial \zeta^2}, \quad \frac{\partial P_0}{\partial \zeta} = 0, \quad \frac{\partial U_{\xi 0}}{\partial \xi} + \frac{\partial U_{\zeta 0}}{\partial \zeta} = 0, \quad (9)$$

уравнения динамики пластины (балки-полоски)

$$\frac{w_m}{\ell^2} \frac{E h_0}{1 - \nu_0^2} \frac{h_0^2}{12 \ell^2} \frac{\partial^4 W}{\partial \xi^4} + \rho_0 h_0 \omega^2 w_m \frac{\partial^2 W}{\partial \tau^2} = -p_0 - \frac{\rho v z_m \omega}{\delta_0 \psi^2} P_0, \quad (10)$$

граничные условия

$$U_{\xi 0} = 0, \quad U_{\zeta 0} = \frac{df_z(\tau)}{d\tau} \quad \text{при } \zeta = 1, \quad U_{\xi 0} = 0, \quad U_{\zeta 0} = \frac{w_m}{z_m} \frac{\partial W}{\partial \tau} \quad \text{при } \zeta = 0, \quad (11)$$

$$P_0 = \Delta P \quad \text{при } \xi = -1, \quad P_0 = 0 \quad \text{при } \xi = 1,$$

$$W = 0, \quad \partial^2 W / \partial \xi^2 = 0 \quad \text{при } \xi = \pm 1. \quad (12)$$

Решая уравнения (9) с учетом (11) для режима установившихся гармонических колебаний пластины $w = f_w(x) \sin(\tau + \varphi_w)$ находим давление

$$P_0 = \frac{1}{2} (\xi^2 - 1) \left[2\varepsilon^2 \alpha \frac{d^2 f_z}{d\tau^2} + 12\gamma \frac{df_z}{d\tau} \right] + \frac{w_m}{z_m} \int_{\xi}^1 \int_{\xi} \left(2\varepsilon^2 \alpha \frac{\partial^2 W}{\partial \tau^2} + 12\gamma \frac{\partial W}{\partial \tau} \right) d\xi d\xi + \quad (13)$$

$$+ \frac{w_m}{2z_m} (\xi - 1) \int_{-1}^1 \int \left(2\varepsilon^2 \alpha \frac{\partial^2 W}{\partial \tau^2} + 12\gamma \frac{\partial W}{\partial \tau} \right) d\xi d\xi + \frac{\Delta P}{2} (1 - \xi).$$

где $2\varepsilon^2 = \omega \delta_0^2 / \nu$, α, γ – частотозависимые коэффициенты [7,8]

$$\gamma(\omega) = \frac{1}{6} \frac{\varepsilon^3 (\operatorname{sh} \varepsilon - \sin \varepsilon)}{\varepsilon^2 (\operatorname{ch} \varepsilon + \cos \varepsilon) - 2\varepsilon (\operatorname{sh} \varepsilon + \sin \varepsilon) + 2(\operatorname{ch} \varepsilon - \cos \varepsilon)},$$

$$\alpha(\omega) = \frac{\varepsilon (\varepsilon (\operatorname{ch} \varepsilon + \cos \varepsilon) - (\operatorname{sh} \varepsilon + \sin \varepsilon))}{\varepsilon^2 (\operatorname{ch} \varepsilon + \cos \varepsilon) - 2\varepsilon (\operatorname{sh} \varepsilon + \sin \varepsilon) + 2(\operatorname{ch} \varepsilon - \cos \varepsilon)}.$$

Подставляя (13) в (10) получаем

$$\begin{aligned} \frac{w_m}{\ell^2} \frac{Eh_0}{1-\nu_0^2} \frac{h_0^2}{12\ell^2} \frac{\partial^4 W}{\partial \xi^4} + \rho_0 h_0 \omega^2 w_m \frac{\partial^2 W}{\partial \tau^2} = -p_0 - \frac{\rho \ell \omega^2 z_m}{\psi 2\varepsilon^2} \frac{1}{2} (\xi^2 - 1) \left[2\varepsilon^2 \alpha \frac{d^2 f_z}{d\tau^2} + 12\gamma \frac{df_z}{d\tau} \right] - \\ - \frac{\rho \ell \omega^2 w_m}{\psi 2\varepsilon^2} \left\langle \int_{-1}^1 \int \left(2\varepsilon^2 \alpha \frac{\partial^2 W}{\partial \tau^2} + 12\gamma \frac{\partial W}{\partial \tau} \right) d\xi \right\rangle d\xi + (\xi - 1) \int_{-1}^1 \left[\int \left(2\varepsilon^2 \alpha \frac{\partial^2 W}{\partial \tau^2} + 12\gamma \frac{\partial W}{\partial \tau} \right) d\xi \right] d\xi + \frac{\Delta P}{2} (1 - \xi) \rangle. \end{aligned} \quad (14)$$

Принимая во внимание (13) и граничные условия (12) представим решение уравнений динамики пластины (14) в виде тригонометрического ряда

$$W = \sum_{k=1}^{\infty} (R_k(\tau) + R_k^0) \cos((2k-1)\pi\xi)/2 + Q_k^0 \sin k\pi\xi, \quad (15)$$

где R_k^0, Q_k^0 – постоянные коэффициенты; $R_k(\tau)$, – гармоническая функция времени τ .

Принимая во внимание линейность уравнения (14) и подставляя в него (15), найденное выражение для давления (13), а, также раскладывая оставшиеся члены, входящие в его правую часть в ряды по тригонометрическим функциям, получим уравнения для R_k^0, Q_k^0

$$\sum_{k=1}^{\infty} \left(\frac{2k-1}{2\ell} \pi \right)^4 D w_m R_k^0 \cos \frac{2k-1}{2} \pi \xi = - \sum_{k=1}^{\infty} \frac{4(-1)^{k+1}}{(2k-1)\pi} \left(p_0 + \frac{\Delta p}{2} \right) \cos \frac{2k-1}{2} \pi \xi, \quad (16)$$

$$\sum_{k=1}^{\infty} \left(\frac{\pi k}{2\ell} \right)^4 D w_m Q_k^0 \sin \pi k \xi = - \sum_{k=1}^{\infty} \frac{(-1)^{k+1}}{k\pi} \Delta p \sin \pi k \xi,$$

и уравнение для функции времени R_k

$$\begin{aligned}
& \sum_{k=1}^{\infty} w_m \left[D \left(\frac{2k-1}{2\ell} \pi \right)^4 R_k \cos \frac{2k-1}{2} \pi \xi + \rho_0 h_0 \omega^2 \frac{d^2 R_k}{d\tau^2} \cos \frac{2k-1}{2} \pi \xi \right] = \\
& = \sum_{k=1}^{\infty} \frac{4(-1)^{k+1}}{(2k-1)\pi} z_m \left[M_{ck} \omega^2 \frac{d^2 f_z}{d\tau^2} + 2K_{ck} \omega \frac{df_z}{d\tau} \right] \cos \frac{2k-1}{2} \pi \xi - \\
& - \sum_{k=1}^{\infty} w_m \left(M_{ck} \omega^2 \frac{d^2 R_k}{d\tau^2} + 2K_{ck} \omega \frac{dR_k}{d\tau} \right) \cos \frac{2k-1}{2} \pi \xi .
\end{aligned} \tag{17}$$

Учитывая, что $d^2 R_k / d\tau^2 = -R_k$, вводя обозначения

$$M_{ck} = \frac{\rho v}{\delta_0 \psi^2} \left[\frac{2}{(2k-1)\pi} \right]^2 \frac{2\varepsilon^2 \alpha}{\omega}, \quad 2K_{ck} = \frac{12\gamma \omega}{2\varepsilon^2 \alpha} M_{ck}, \quad a_{1ck} = ((2k-1)\pi/2\ell)^4 - [\rho_0 h_0 + M_{ck}] \omega^2 / D,$$

$$a_{2ck} = 2K_{ck} \omega / D, \quad c_{1ck} = M_{ck} \omega^2 / D, \quad c_{2ck} = -2K_{ck} \omega / D,$$

из (16) находим выражение для R_k^0, Q_k^0

$$R_k^0 = \left(\frac{2\ell}{(2k-1)\pi} \right)^4 \frac{4(-1)^k}{(2k-1)\pi} \frac{p_0 + \Delta p / 2}{D w_m}, \quad Q_k^0 = \left(\frac{2\ell}{\pi k} \right)^4 \frac{(-1)^k}{k\pi} \frac{\Delta p}{D w_m}, \tag{18}$$

а из (17) уравнения для определения $R_k(\tau)$

$$a_{1ck} w_m R_k + a_{2ck} w_m \frac{dR_k}{d\tau} = \frac{4(-1)^k}{(2k-1)\pi} \left[c_{2ck} z_m \frac{df_z}{d\tau} - c_{1ck} z_m \frac{d^2 f_z}{d\tau^2} \right] \tag{19}$$

Решение уравнения (19) для режима установившихся гармонических колебаний имеет вид

$$R_k = \frac{4(-1)^k}{(2k-1)\pi} \frac{z_m}{w_m} \left[A_{ck} \frac{df_z}{d\tau} + B_{ck} \frac{d^2 f_z}{d\tau^2} \right], \tag{20}$$

где $A_{ck} = \frac{a_{1ck} c_{2ck} - a_{2ck} c_{1ck}}{a_{1ck}^2 + a_{2ck}^2}$, $B_{ck} = -\frac{a_{1ck} c_{1ck} + a_{2ck} c_{2ck}}{a_{1ck}^2 + a_{2ck}^2}$. При этом

$$\frac{dR_k}{d\tau} = \frac{4(-1)^k}{(2k-1)\pi} \frac{z_m}{w_m} \left[A_{ck} \frac{d^2 f_z}{d\tau^2} - B_{ck} \frac{df_z}{d\tau} \right], \quad \frac{d^2 R_k}{d\tau^2} = \frac{4(-1)^k}{(2k-1)\pi} \frac{z_m}{w_m} \left[-A_{ck} \frac{df_z}{d\tau} - B_{ck} \frac{d^2 f_z}{d\tau^2} \right].$$

Таким образом, прогиб стенки канала с учетом (18), (20) имеет вид

$$w = w^0 + z_m A(\omega, \xi) \sin(\omega t + \varphi_w(\omega, \xi)), \quad (21)$$

$$\text{где } w^0 = \sum_{k=1}^{\infty} (-1)^k \frac{16\ell^4}{\pi^5} \left(\frac{2}{(2k-1)^5} \frac{2p_0 + \Delta p}{D} \cos \frac{2k-1}{2} \pi \xi + \frac{1}{k^5} \frac{\Delta p}{D} \sin k \pi \xi \right), \quad A(\omega, \xi) = \sqrt{A_w^2 + B_w^2},$$

$$A_w = \sum_{k=1}^{\infty} \frac{4(-1)^k}{(2k-1)\pi} A_{ck} \cos \frac{2k-1}{2} \pi \xi, \quad B_w = \sum_{k=1}^{\infty} \frac{4(-1)^k}{(2k-1)\pi} B_{ck} \cos \frac{2k-1}{2} \pi \xi,$$

$$\text{tg } \varphi_w(\omega, \xi) = \left(\sum_{k=1}^{\infty} \frac{4(-1)^{k+1}}{(2k-1)\pi} A_{ck} \cos \frac{2k-1}{2} \pi \xi \right) / \left(\sum_{k=1}^{\infty} \frac{4(-1)^k}{(2k-1)\pi} B_{ck} \cos \frac{2k-1}{2} \pi \xi \right).$$

Принимая во внимание (15), (20), выражение для безразмерного давления (13)

примет вид

$$P_0 = \Delta p \frac{(1-\xi)}{2} + \left[6\gamma(\xi^2 - 1) + 2 \sum_{k=1}^{\infty} \left(\frac{2}{(2k-1)\pi} \right)^3 (-1)^{k+1} [12\gamma B_{ck} + 2\varepsilon^2 \alpha A_{ck}] \cos \left(\frac{2k-1}{2} \pi \xi \right) \right] \frac{df_z}{d\tau} +$$

$$+ \left[\varepsilon^2 \alpha (\xi^2 - 1) + 2 \sum_{k=1}^{\infty} \left(\frac{2}{(2k-1)\pi} \right)^3 (-1)^k [12\gamma A_{ck} - 2\varepsilon^2 \alpha B_{ck}] \cos \left(\frac{2k-1}{2} \pi \xi \right) \right] \frac{d^2 f_z}{d\tau^2}, \quad (22)$$

в размерном виде давление запишем как

$$p = p_0 + \Delta p (1-\xi)/2 + p_m \Pi(\omega, \xi) \sin(\omega t + \varphi_p(\omega, \xi)), \quad (23)$$

$$\text{где } \Pi(\omega, \xi) = \sqrt{A_p^2 + B_p^2}, \quad \text{tg } \varphi_p(\omega, \xi) = -A_p/B_p, \quad p_m = z_m \frac{\rho v \omega}{\delta_0 \psi^2},$$

$$A_p = \left(6\gamma(\xi^2 - 1) + 2 \sum_{k=1}^{\infty} \left(\frac{2}{(2k-1)\pi} \right)^3 (-1)^{k+1} [12\gamma B_{ck} + 2\varepsilon^2 \alpha A_{ck}] \cos \left(\frac{2k-1}{2} \pi \xi \right) \right),$$

$$B_p = \left(\varepsilon^2 \alpha (\xi^2 - 1) + 2 \sum_{k=1}^{\infty} \left(\frac{2}{(2k-1)\pi} \right)^3 (-1)^k [12\gamma A_{ck} - 2\varepsilon^2 \alpha B_{ck}] \cos \left(\frac{2k-1}{2} \pi \xi \right) \right).$$

3. Полученные функции $A(\omega, \xi)$ и $\Pi(\omega, \xi)$ можно рассматривать как безразмерные функции распределения амплитуд прогиба пластины и давления жидкости в канале. В качестве примера, приведем результаты расчетов функций

$A(\omega, \xi)$ и $\Pi(\omega, \xi)$ при $\xi=0$, т.е. в центре канала, с удержанием 1, 2, 3 и 4 членов разложения (см. рис.2, 3). В расчетах использовались следующие значения параметров: $\rho_0=7,8 \cdot 10^3$ кг/м³; $\nu_0 = 0,3$, $E = 2,1 \cdot 10^{11}$ Па; $2\ell = 0,2$ м, $h_0/\ell = 0,05$; $\delta_0/\ell = 15$, $\rho = 1,84 \cdot 10^3$ кг/м³; $\nu = 2,5 \cdot 10^{-4}$ м²/с.

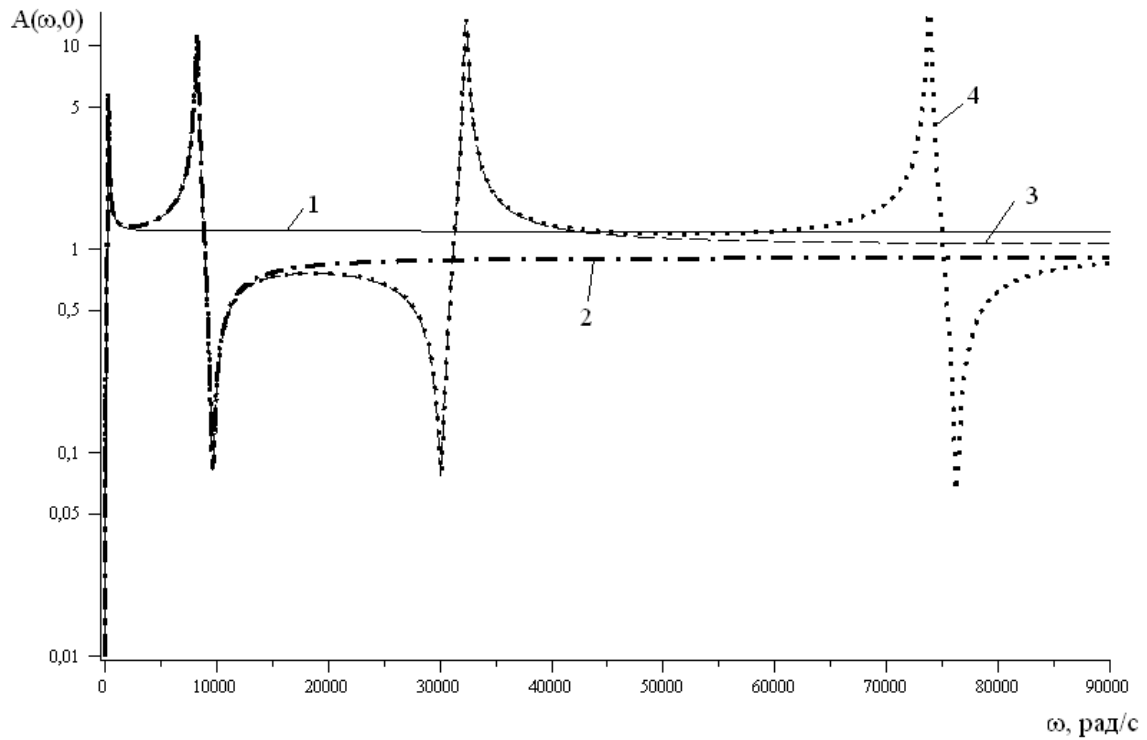


Рис.2

1 – удержан 1 член разложения, 2 – удержано 2 члена разложения, 3 – удержано 3 члена разложения, 4 удержано 4 члена разложения

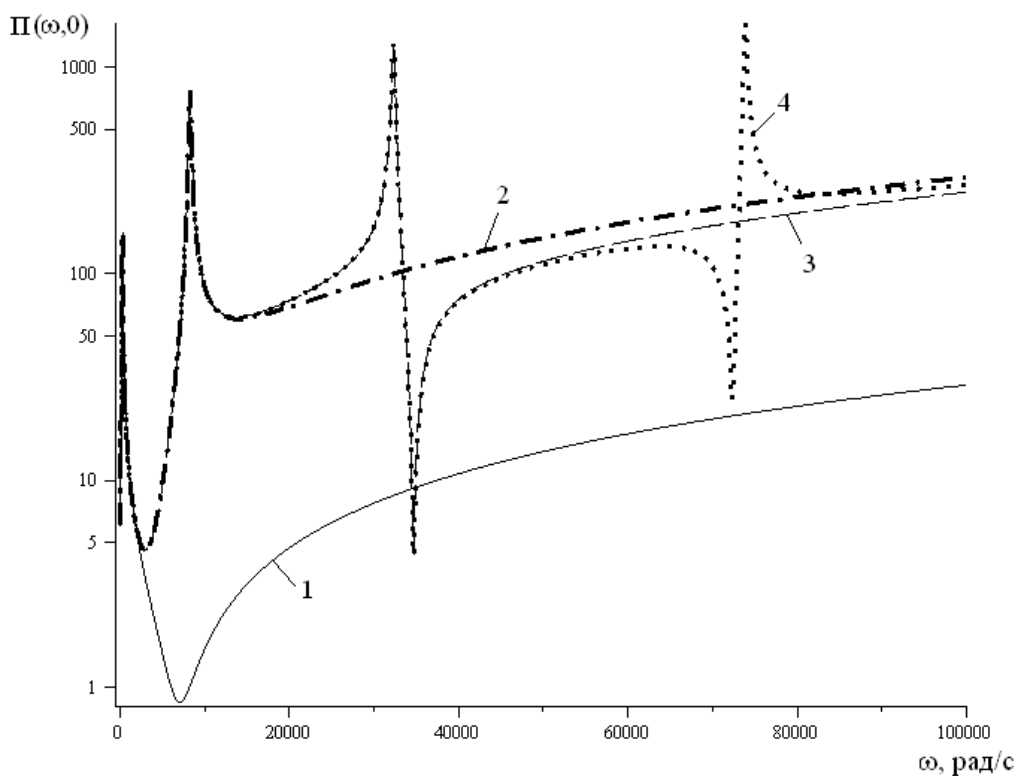


Рис.3

1 – удержан 1 член разложения, 2 – удержано 2 члена разложения, 3 – удержано 3 члена разложения, 4 удержано 4 члена разложения

Заключение

Проведенное исследование показало, что при движении жидкости в щелевом канале, образованном абсолютно жесткой вибрирующей стенкой и упругой пластиной, возникают резонансные колебания пластины, а в слое жидкости появляется дополнительное давление, обусловленное сжатием жидкости вибрирующей стенкой. Полученные в работе функции распределения амплитуд прогиба пластины $A(\omega, \xi)$ и давления жидкости $P(\omega, \xi)$ можно использовать для определения резонансных частот изгибных колебаний пластины, а также амплитуд прогиба пластины и давления в жидкости. Проведенные расчеты показывают хорошую сходимость полученного решения при удержании первых членов разложения. Учет новых членов разложения приводит к появлению дополнительных

резонансных частот.

Выполнено при поддержке гранта РФФИ №15-01-01604а

Библиографический список

1. Башта Т.М. Машиностроительная гидравлика. - М.: Машиностроение, 1971. - 672 с.
2. Лойцянский Л.Г. Механика жидкости и газа. - М.: Дрофа, 2003. - 840 с.
3. Слезкин Н.А. Динамика вязкой несжимаемой жидкости. - М.: Гостехиздат, 1955. - 520 с.
4. Индейцев Д.А., Полипанов И.С., Соколов С.К. Расчет кавитационного ресурса втулки судовых двигателей // Проблемы машиностроения и надежности машин. 1994. №4. С.59-64.
5. Enelund M. Vibration and damping of a plate on a viscous fluid layer. Proceeding of the 13th International Modal Analysis Conference (IMAC). 1995. pp.261-267.
6. T. Önsay Effects of layer thickness on the vibration response of a plate-fluid layer system // Journal of Sound and Vibration. 1993. Vol. 163. pp. 231-259.
7. Могилевич Л.И., Попов В.С. Исследование взаимодействия слоя вязкой несжимаемой жидкости со стенками канала, образованного соосными вибрирующими дисками // Известия РАН. Механика жидкости и газа. 2011. №3. С. 42-55.
8. Могилевич Л.И., Попов В.С., Попова А.А. Динамика взаимодействия упругих элементов вибромашины со сдавливаемым слоем жидкости, находящимся между

ними // Проблемы машиностроения и надежности машин. 2010. № 4. С. 23-32.

9. Akcabay D.T., Young Y.L. Hydroelastic Response and Energy Harvesting Potential of Flexible Piezoelectric Beams in Viscous Flow, Physics of Fluids. 2012, Vol.24. Issue 5.

10. Пановко Я.Г., Губанова И.И. Устойчивость и колебания упругих систем. - М.: Наука, 1987. -352 с.

11. Ван-Дайк М. Методы возмущений в механике жидкостей. - М.: Мир, 1967. -312с.